

RAPPORT

Hanskemakerbakken

OPPDAGSGIVER

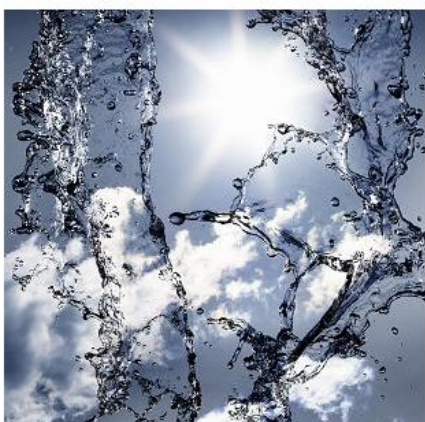
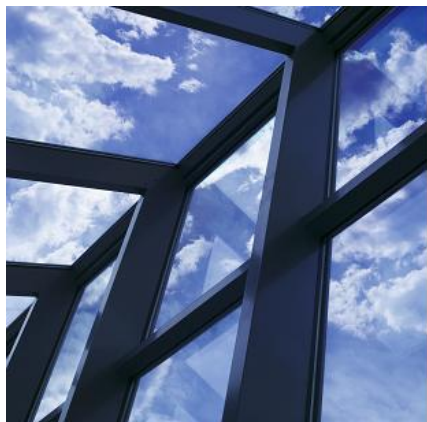
Trondheim og omegn boligbyggerlag (TOBB)

EMNE

Skredvurdering

DATO / REVISJON: 13. november 2014 / 02

DOKUMENTKODE: 415789-RIG-RAP-002



Multiconsult

Denne rapporten er utarbeidet av Multiconsult i egen regi eller på oppdrag fra kunde. Kundens rettigheter til rapporten er regulert i oppdragsavtalen. Tredjepart har ikke rett til å anvende rapporten eller dele av denne uten Multiconsults skriftlige samtykke.

Multiconsult har intet ansvar dersom rapporten eller dele av denne brukes til andre formål, på annen måte eller av andre enn det Multiconsult skriftlig har avtalt eller samtykket til. Dele av rapportens innhold er i tillegg beskyttet av opphavsrett. Kopiering, distribusjon, endring, bearbeidelse eller annen bruk av rapporten kan ikke skje uten avtale med Multiconsult eller eventuell annen opphavsrettshaver.

RAPPORT

| | | | |
|----------------|--|-----------------|----------------------|
| OPPDRAF | Hanskemakerbakken | DOKUMENTKODE | 415789-RIG-RAP-002 |
| EMNE | Skredvurdering | TILGJENGELIGHET | Åpen |
| OPPDRAFGIVER | Trondheim og omegn boligbyggerlag (TOBB) | OPPDRAFGIVER | Signe Gurid Hovem |
| KONTAKTPERSON | Morten Olberg | UTARBEIDET AV | Signe Gurid Hovem |
| KOORDINATER | SONE: 32 ØST: 5681 NORD: 70342 | ANSVARLIG ENHET | 3012 Midt Geoteknikk |
| GNR./BNR./SNR. | 416 / 297 / X / Trondheim | | |

SAMMENDRAG

Trondheim og omegn boligbyggerlag (TOBB) planlegger utbygging av 2 leilighetsbygg i Hanskemakerbakken 2 i Trondheim. Multiconsult AS er engasjert som geoteknisk rådgiver i forbindelse med detaljregulering og innsending av rammesøknad. Foreliggende rapport presenterer en vurdering av skredfare for planlagt utbygging. Leilighetsbyggene er planlagt med 4 etasjer + sokkel/kjeller.

Tomta ligger innenfor NVEs kvikkleiresone 181 Hanskemakerbakken og i henhold til NVEs retningslinjer er det krav om at reell skredfare, områdestabilitet, skal utredes i forbindelse med reguleringsplan/byggeplan. Dette innebærer blant annet at forekomst av sprøbruddsmateriale (dvs. sensitiv leire og eller kvikkleire) skal kartlegges og det skal vurderes om denne har en slik beliggenhet at skred kan inntreffe.

For å kartlegge grunnforholdene i området har Multiconsult utført grunnundersøkelser på tomta og i skråningen opp mot Roald Amundsen veg. Disse undersøkelsene samt tidligere utførte undersøkelser i området danner grunnlag for skredvurderingen.

Generelt består grunnen på selve tomta av fyllmasser og tørrskorpeleire over bløt og sensitiv leire ned til 15-20 m dybde der det er et fastere lag over berg. I skråningen opp mot Roald Amundsen veg er det påvist sensitiv leire over et fastere lag over berg, men lagets mektighet avtar oppover skråningen. Ned mot Ila-bekken er det også påvist sensitiv leire under et lag med fyllmasser og sandige masser.

Sikkerhet mot lokal utgliding av graveskråningen i byggegropa vil bli ivaretatt under prosjekteringen. Innledende beregninger gir beregningsmessig sikkerhet $F > 2,0$ for glideflater ned i kvikkleira. For flakskred opp mot Roald Amundsen veg viser beregningene tilfredsstillende sikkerhet mot skred med beregningsmessig sikkerhet $F \geq 1,4$ basert på en gjennomsnittlig betraktnign av 3 beregningsprofiler.

Det konkluderes derfor med at sikkerheten til skred mot og fra utbyggingsområdet i Hanskemakerbakken 2 tilfredsstiller kravene i regelverket når sikkerhetsklasse S3 legges til grunn for skred. Nominelt årlig gjentaksintervall er 1/5000.

Rapporten er revidert på bakgrunn av dialog og avklaringer med Trondheim kommune og NVE. Trondheim kommunens tilbakemelding pr e-post 29.9.14 på vårt notat 415789-RIG-NOT-006 «prinsipp for ivaretagelse av områdestabilitet», er tatt til følge i denne reviderte utgaven av skredvurderingsrapporten. Videre er rapporten oppdatert for å tilfredsstille NVEs reviderte veileder 7/2014.

| | | | | |
|------|------------|---|--|--------------------|
| | | | | |
| | | | | |
| 02 | 13.11.14 | Revidert iht dialog med Trondheim kommune/NVE | Sæt 4 | JSG |
| 01 | 18.02.2014 | Utført aqc-analyse | Lise F. Christiansen | Signe Gurid Hovem |
| 00 | 24.01.2014 | 1. gangs utsendelse | Lise F. Christiansen/ Signe Gurid Hovem | Joar S. Gloppestad |
| REV. | DATO | BESKRIVELSE | UTARBEIDET AV | KONTROLLERT AV |
| | | | | GODKJENT AV |

INNHOLDSFORTEGNELSE

| | | |
|-----------|--|-----------|
| 1 | Innledning | 5 |
| 2 | Grunnlag..... | 5 |
| 3 | Terren og grunnforhold..... | 6 |
| 3.1 | Terren | 6 |
| 3.2 | Grunnforhold | 6 |
| 4 | Situasjonsbeskrivelse..... | 7 |
| 4.1 | Planlagt utbygging | 7 |
| 4.2 | Graving og fundamentering | 7 |
| 5 | Avgrensning og klassifisering av kvikkleiresone | 8 |
| 5.1 | Generelt | 8 |
| 5.2 | Avgrensning av sonen | 8 |
| 5.3 | Skred Skadekonsekvens, faregrad og risikoklasse evaluering | 9 |
| 6 | Skredtype og mulig utbredelse av skred..... | 9 |
| 6.1 | Generelt | 9 |
| 6.2 | Skred ned fra tomta eller skred med bakovergripende mekanisme opp mot tomta | 9 |
| 6.3 | Skred ovenfor tomta (ikke påvirket av planlagte utbygging) | 9 |
| 6.4 | Skred ned mot tomta påvirket av planlagte utbygging..... | 10 |
| 6.5 | Skred i skråningen mellom Roald Amundsens veg og Ila-bekken vest for utbyggingsområdet | 10 |
| 7 | Sikkerhetsprinsipper..... | 10 |
| 8 | Materialparametere | 11 |
| 9 | Stabilitet..... | 11 |
| 9.1 | Beregningsteknikk | 11 |
| 9.2 | Lokalstabilitet av byggegrop | 11 |
| 10 | Stabilitet opp mot Roald Amundsens veg..... | 11 |
| 11 | Geotekniske vurderinger | 12 |
| 11.1 | Lokalstabilitet | 12 |
| 11.2 | Områdestabilitet..... | 12 |
| 11.3 | Effekten av kalk-sement stabilisering | 13 |
| 12 | Konklusjon/sluttbemerkning | 13 |
| 13 | Referanser | 14 |

Tegninger

415789-RIG-TEG

- 003 Borplan med avmerket løsneområde og utløpsretning
- 200 Profil A-A, med lagdeling
- 201 Profil B-B, med lagdeling
- 202 Profil C-C, med lagdeling
- 300 Profil A-A, eksisterende terren, stabilitetsberegnung, global utbredelse, ADP-analyse
- 301 Profil A-A med byggegrop, stabilitetsberegnung, global utbredelse, ADP-analyse
- 303 Profil A-A, eksisterende terren, stabilitetsberegnung, global utbredelse, aφ-analyse
- 304 Profil A-A med byggegrop, stabilitetsberegnung, global utbredelse, aφ-analyse
- 305 Profil A-A med poreovertrykk, stabilitetsberegnung, global utbredelse, aφ-analyse
- 310 Profil B-B, eksisterende terren stabilitetsberegnung, global utbredelse, ADP-analyse
- 311 Profil B-B med byggegrop, stabilitetsberegnung, global utbredelse, ADP-analyse
- 320 Profil C-C, eksisterende terren stabilitetsberegnung, global utbredelse, ADP-analyse
- 321 Profil C-C med byggegrop, stabilitetsberegnung, global utbredelse, ADP-analyse

Vedlegg

Vedlegg A Materialparametere for områdestabilitet

Vedlegg B Rapport fra SVV, Ud359E

1 Innledning

TOBB er i gang med detaljregulering og rammesøknad for utbygging av 2 leilighetsbygg i Hanskemakerbakken 2. Multiconsult AS er engasjert som geoteknisk rådgiver.

Tomta ligger innenfor kvikkleiresone 181 Hanskemakerbakken, som i henhold til skrednett er klassifisert med risikoklasse 3, konsekvensklasse meget alvorlig og lav faregrad. I henhold til NVEs retningslinjer 2/2011 /1/ med tilhørende veileder 7/2014 /2/ er det krav om at reell skredfare, områdestabilitet, skal utredes i forbindelse med reguleringsplan/byggeplan. Her må det vurderes om selve tiltaket kan medføre økt skredfare og om tiltaket ligger i utløpssonen for eventuelt kvikkleireskred utløst fra andre hold.

I forbindelse med reguleringsarbeidet har Multiconsult utført skredvurdering for tiltaket presentert i rev 01 av denne rapporten /3/. Her har det i hovedsak vært fokusert på sikring mot initialskred som eventuelt kan utløse bakoverrettede skredmekanismer i sprøbruddsmaterialet.

Trondheim kommune og NVE innkalte til et avklarende møte 21. august 2014. Det fremkom av dette møtet et behov både for å klarlegge de underliggende prinsipper for prosjektering og videre en bredere synliggjøring av sikkerhetsnivået i skranningen.

På bakgrunn av dette møte utarbeidet Multiconsult et notat 415789-RIG-NOT-006 /4/ med forslag til «prinsipp for ivaretakelse av områdestabilitet». Trondheim kommune i samarbeid med NVE har i e-post av 29.9.2014 /5/ gitt sitt tilsvarende tilslutning til dette notatet. Trondheim kommunes/NVEs kommentarer er nå hensyntatt og innarbeidet i foreliggende rapport.

Da revideringen er så vidt omfattende har vi valgt å ikke markere revidert tekst.

2 Grunnlag

I forbindelse med planlagt utbygging har Multiconsult utført grunnundersøkelser på selve tomta og i skranningen opp mot Roald Amundsens veg. I september 2013 ble det utført supplerende borer i skranningen opp mot Roald Amundsens veg, CPTU i BP5 og BP 9. Utførte grunnundersøkelser er presentert i datarapport 415789-RIG-RAP-01_rev01 /6/. Våre vurderinger baseres på disse undersøkelsene samt tidligere utførte grunnundersøkelser i området:

Statens vegvesen: Ud359-E Tunnel IIa - Osloveien, 1990 /7/

Trondheim kommune: R.0047 Hanskemakerbakken, 1957 /8/

Trondheim kommune: R.0050 Hjorten, 1958 /9/

Trondheim kommune: R.0218 Hanskemakerbakken trygdeboliger, 1971 /10/

Trondheim kommune: R.1144 Møllebakken, 2001 /11/

Multiconsult har også tidligere utført grunnundersøkelser på tomten, men dette er grunne miljøundersøkelser begrenset til ca. 3 m dybde.

For øvrig har både NGI og Rambøll (Kummeneje) utført grunnundersøkelser på og ved tomten. Vi har imidlertid ikke hatt tilgang til disse rapportene.

3 Terreng og grunnforhold

3.1 Terreng

Utbyggingsområdet ligger i Ila i Trondheim kommune. Mot vest avgrenses området av Ila-bekken, mot nord av et friareal, mot øst av boligblokker og mot sør av vegen Hanskemakerbakken.

Selve tomta er forholdsvis flat, men skråner svakt mot nordvest fra ca. kote +11 i sørøst til ca. kote +9 i nordvest. Sør for vegen Hanskemakerbakken skråner terrenget opp mot Roald Amundsens veg på ca. kote +24 og videre oppover mot Byåsen. Mot vest skråner terrenget ned mot Ila-bekken på ca. kote +7.



Figur 3-1: Områdeoversikt. Koteekvedistanse er 1 m (Kilde: Trondheim kommunes kartteneste på web).

3.2 Grunnforhold

Generelt består grunnen på selve tomta av fyllmasser og tørrskorpeleire over bløt og sensitiv leire ned til 15-20 m dybde der det er et fastere lag over berg. I skråningen opp mot Roald Amundsens veg er det påvist sensitiv leire over et fastere lag over berg. Ned mot Ila-bekken er det også påvist sensitiv leire under et lag med finsand.

Berg er påvist i 17 til 33 m dybde i de utførte borpunktene. Tidligere grunnundersøkelser viser at dybden til berg avtar mot sørøst. Ved Roald Amundsen vei er antatt berg påtruffet ved 7-20 m dybde. Nord for Roald Amundsens veg er det blottlagt berg i de bratteste skråningene.

4 Situasjonsbeskrivelse

4.1 Planlagt utbygging

Hanskemakerbakken 2 ligger i Ila i Trondheim kommune. Tomta er en del av gnr 416 bnr 56, og utgjør ca. 2.500 m². Tomta er planlagt bebygget med 2 leilighetsbygg på 4 etasjer pluss kjeller/sokkel.

Det er planlagt å etablere 2 leilighetsbygg, hus B (B1) og hus A (B2) (lengst øst). Kjeller er planlagt under begge byggene og mellomliggende areal. Under hus B vil nordre del være sokkeletasje da terrenget skråner ned mot nord.

Begge byggene er planlagt med 4 etasjer som trappes inn oppover. Se *Figur 4-1*.



Figur 4-1: Situasjonsplan for utbyggingen (Kilde: Per Knudtsen Arkitektkontor AS).

4.2 Graving og fundamentering

Bygget er planlagt fundamentert på kalk-sementstabilisert grunn.

Kalk-sementpeler er tenkt installert fra et generelt planum på ca kote +10. For å redusere poreovertrykk i grunnen ved innstallering av KS-pelene må det gjøres tiltak. Aktuelle tiltak vil være senkning av terreng og installering av vertikaldren før installering av KS-peler. Dette vil bli nærmere vurdert som en del av detaljprosjekteringen.

OK gulv kjeller er planlagt på ca. kote +8,6. Ved å KS-stabilisere grunnen vil en sikre tilstrekkelig bærelag for maskiner under anleggsperioden. Graveskråninger kan etableres med generell helning 1:1,5 ned til antatt underkant fundament på ca. kote +7,5.

Geotekniske vurderinger vedrørende etablering av byggegrop og fundamenteringsforhold er nærmere beskrevet i vårt notat 415789-RIG-NOT-002_rev01 /12/. En vurdering av kalk-sement stabilisering for å forsterke byggegrunnen er presentert i vårt notat 415789-RIG-NOT-005 /13/.

Det forutsettes at grave- og fundamenteringsarbeidene blir nærmere vurdert i detaljprosjekteringsfasen.

5 Avgrensning og klassifisering av kvikkleiresone

5.1 Generelt

Den planlagte utbyggingen ligger innenfor kvikkleiresone Hanskemakerbakken, se Figur 5-1, og i henhold til NVEs Veileder nr. 7/2014 /2/ skal det bl.a. sannsynlig løsne- og utløpsområdet avgrenses samt at sonen skal faregrad klassifiseres.



Figur 5-1: Beliggenhet av tomta vist med blå sirkel. Kvikkleiresone 181 Hanskemakerbakken er vist med skravur på kartet.

5.2 Avgrensning av sonen

Sprøbruddsmateriale omfatter materiale med sprøbruddsoppførsel, dvs. kvikkleire og sensitive masser. NVEs definisjoner er benyttet.

Vurderingene under tar utgangspunkt i vedlagte tegninger.

På tomta:

På selve tomta er det påvist kvikkleire fra ca. 5 m dybde, dvs. fra ca. kote +5, og nedover med dybden til ca. kote -7. Mot vest indikerer tidligere undersøkelser (Ud359-46 og -45) at kvikkleirelaget kiler ut mot bekken og at det ikke er kvikkleire på vestsiden av bekken.

Nord for tomta:

Mot nord viser tidligere grunnundersøkelser i området (R.0047) at kvikkleirelaget ligger dypere og at mektigheten avtar. I borpunkt R.0047-3 er kvikkleire påtruffet ved ca. 9 m under terrenget, dvs. ved ca. kote -3. Over kvikkleira er det finsand.

Sør for tomta:

Sør og sørvest for tomta ved Ille menighetssykehjem, «Hjorten», er det påvist kvikkleire fra ca. 5 m dybde, dvs. ca. kote +10 og ned til ca. kote +5. Under dette er det et fastere lag over antatt berg. Antatt berg er påtruffet ca. 6-22 m dybde under terrenget i de enkelte borpunktene (R.0050). Altså er dette et kvikkleirelag som ligger høyere enn kvikkleirelaget påvist ved tomta.

Kvikkleirelaget ser ut til å kile ut i skråningen opp mot Roald Amundsens veg. I denne skråningen er det påvist sensitive masser i borpunkt 5 og borpunkt Ud359E-39. I borpunkt 5 er det ved prøver påvist sensitive masser ved 13 m dybde, dvs. ved ca. kote +1. Dreietrykk sondering og CPTU i samme borpunkt kan tyde på at det her er sensitive masser mellom kote +2 og kote -2. I borpunkt UD359E-39 er det ved prøveserie påvist sensitive masser fra 14 til 17 m dybde, dvs. fra ca. kote +13 til +10.

Dreietrykk sondering og CPTU i borpunkt 9 kan tyde på at det er sensitive masser mellom kote +10 og kote +5.

Basert på dette vurderer vi at det er et lag med sensitiv leire mellom kote + 5 og -5 ved Hanskemakerbakken. Oppover i skråningen skråner laget oppover og kiles ut slik at det kun er et ca. 3 m tykt lag med sensitive masser mellom ca. kote +12 og kote +8 ved Roald Amundsens veg, se profil A-A.

Det er også påvist/indikasjoner på kvikkleire vest for dette profilet (R.218).

Samme lagdeling vurderes for profil B-B og C-C, bortsett fra at laget med sensitive leire her trolig kiler ut midt i skråningen. Det er ikke påvist eller indikasjoner på kvikkleire i borpunkt 6, 7 eller i borpunkt Ud359E-40.

5.3 Skred Skadekonsekvens, faregrad og risikoklasse-evaluering

Kvikkleiresone Hanskemakerbakken er klassifisert med skadekonsekvens meget alvorlig, middels faregrad og risikoklasse 3. Hverken utførte grunnundersøkelser eller tiltaket vil etter vårt syn medføre en endring av dette.

6 Skredtype og mulig utbredelse av skred

6.1 Generelt

Formålet med å vurdere skredtype og utbredelse av skred er å belyse hvilken utstrekning et eventuelt skred utløst i sonen kan få, og hvilke følgerisiko for skader på bebyggelse nedstrøms sonen et skred kan medføre. I vår vurdering har vi valgt å skille mellom 4 ulike skreditfaller:

- Skred ned fra tomta eller skred med bakovergripende mekanisme opp mot tomta
- Skred ovenfor tomta, ikke påvirket av planlagte utbygging
- Skred ned mot tomta påvirket av planlagte utbygging
- Skred i skråningen mellom Roald Amundsens veg og Ila-bekken vest for utbyggingsområdet.

Løsneområdet med utløpsretning for et eventuelt skred i kvikkleiresonen er vist på tegning 415789-RIG-TEG-003. Ut fra vurderingen presentert på tegningen og i tekst i kapitlene 6.2 til 6.5 fokuseres det i de resterende kapitlene på skredmekanismer fra sør og ned mot tomta.

6.2 Skred ned fra tomta eller skred med bakovergripende mekanisme opp mot tomta

Multiconsult finner ikke dette tilfellet sannsynlig. Ila-bekken er betydelig opparbeidet de siste årene ved at bekken er hevet og plastret. Plastring av bekkeløpet medfører at erosjonsfare er betydelig redusert. Selve utbyggingen vil medføre en avlastning av terrenget og således en forbedring av stabiliteten ned mot bekken. Dette sammen med at sprøbruddsmaterialet ligger dypere enn bunn av bekken medfører at vi vurderer at et slikt skred ikke kan inntreffe.

6.3 Skred ovenfor tomta (ikke påvirket av planlagte utbygging)

På bakgrunn av topografi og grunnforhold vurderer vi at mest sannsynlig skredtype er ett bakoverrettet flakskred utviklet fra skråningsfot. Denne skredmekanismen opptrer vanligvis hvis laget av sprøbruddsmateriale er av liten mektighet og overdekningen av andre løsmasser er stor slik at bruddflaten tvinges bakover.

Dette skredscenarioet vurderes som mindre reell siden det ikke foreligger noe klar utløsende årsak for et slikt skred, men kan i verste fall utløses av poreovertrykk og/eller grunnvannstrømning ved økt

nedbør. Et eventuelt skred i dette området vurderes å ha begrenset utstrekning og i hovedsak kun omfattet det området som direkte berøres av skredet. Områdestabiliteten er for slike tilfelle derfor ivaretatt for den spesifikke utbygningen i Hanskemakerbakken. Dette begrunnes med følgende:

- Det er ikke påvist kvikkleire i dette øvre området, men sensitive leirer med omrørt skjærfasthet større en 1 kPa
- Målt omrørt skjærfasthet, $C_{u,r}$ i skråningen er > 1 noe som tilsier at det ikke oppnås full flyt i massene
- Sensitiv leire ligger dypt og en eventuell skredkant vil fylles opp av ikke sensitive masser og stoppe videre utvikling for området ovenfor Hanskemakerbakken

6.4 Skred ned mot tomta, påvirket av planlagte utbygging

Også for dette skredtilfelle vurderer vi at mest sannsynlig skredtype er ett bakoverrettet flaksred utviklet fra skråningsfot.

For dette konkrete tilfelle vurderer vi at et slikt skred kan bli initiert av lokalt skred i byggegropa eller som følge av endring av poretrykk, for eksempel på grunn av KS-stabilisering i byggegropa.

Også her vurderer vi at et eventuelt skred vil ha begrenset utstrekning, men da sannsynligvis være stort nok til at utbyggingstomta i sin helhet blir berørt.

For dette skredsenarioet er det utført stabilitetsberegringer for å dokumentere tilstrekkelig sikkerhet i henhold til krav om absolutt sikkerhet $F > 1,4$.

6.5 Skred i skråningen mellom Roald Amundsens veg og Ila-bekken vest for utbyggingsområdet

Dette skredtilfellet vurderes som reelt, men vurderes å ikke kunne ramme utbyggingsområdet siden et eventuelt skred her vil ha utløpsretning ned mot Ila-bekken vest for tomta.

7 Sikkerhetsprinsipper ved dokumentasjon av områdestabilitet

Prosjektet er vurdert iht. NVEs retningslinjer nr. 2/2011 rev 22.mai 2014 /1/, NVEs Veileder nr. 7/2014 /2/, Eurokode 0 /14/ og Eurokode 7 /15/ til:

- Sikkerhetsklasse S3 for skred (TEK10)
- Geoteknisk kategori 2
- Pålitelighetsklasse (CC/RC) 2
- Kontrollklasse «Normal» for prosjektering og utførelse
- Tiltakskategori K4 iht. NVEs Veileder nr. 7/2014

Med bakgrunn i gjeldende regelverk, vårt notat RIG-NOT-06 /4/ og Trondheim kommunes /NVEs tilbakemelding per e-post av 29.9.2014 /5/ vurderes at følgende krav til beregningsmessig sikkerhet vil være gjeldende for dette prosjektet:

1. Skred påvirket av planlagt utbygging må ha en beregningsmessig sikkerhetsfaktor $F \geq 1,4$. Prosentvis forbedring som følge av stabiliserende tiltak tillates ikke siden KS-stabilisering ikke omfattes av topografiske endringer eller lette masser.
2. Skredmekanismer (glideflater) som ikke blir påvirkes av planlagt utbygging, men som vurderes å kunne berøre tomta må ha en beregningsmessig sikkerhetsfaktor $F \geq 1,4$.

3. Skredmekanismer (glideflater) som ikke blir påvirkes av planlagt utbygging, og som vurderes å ikke kunne berøre ses som ikke relevante for prosjektet, og beregnes ikke.

8 Materialparametere

Vurdering av kvalitet på undersøkelser, opptatte prøver samt tolkning av materialparametere er vist i vedlegg A. Valgte styrkeprofiler er basert på styrkeparametre fra opptatte prøveserier samt utførte CPTU-sonderinger.

9 Stabilitetsberegninger

9.1 Beregningsverktøy

Stabilitetsberegningene er utført med beregningsprogrammet «GeoSuite Stability» versjon 14.0.0 med beregningsmetode Beast 2003. Beregningsmetoden er basert på grenselikevektsmetode, og anvender en versjon av lamellemetoden som tilfredsstiller både kraft- og momentlikevekt.

Programmet søker selv etter kritisk sirkulærslindrisk glideflate for definerte variasjonsområder av sirkelsentrums. Det er også mulig å definere egne glideflater i programmet.

9.2 Lokalstabilitet av byggegrop

Dette ivaretas med prosjektering etter prinsippet om absolutt sikkerhetsfaktor $F \geq 1,4$.

9.3 Stabilitet opp mot Roald Amundsens veg

Med bakgrunn i skredvurdering gitt i kap 6 har vi her valgt å skille mellom skred med utløp av glideflater på oversiden av vegen Hanskemakerbakken som vi vurderer ikke vil berøre utbyggingsområdet ved et eventuelt skred, og skred med utløp av glideflater i eller tett inntil utbyggingsområdet.

Som følge av dette har vi satt enn tenkt grense i søndre veggkant av vegen Hanskemakerbakken. Glideflater med utløp ved denne grensen (1) samt kritiske glideflater nord for denne grensen (2), er beregnet for alle profiler (A-C). Beregningene er utført for eksisterende terreg og ved utgraving for byggegrop for ADP-analyse. I forkant av utgravingen skal tomta stabiliseres med kalk-sement. Økt udrenert skjærfasthet i leira som følge av dette er ikke inkludert i beregningene.

I tillegg er det for profil A-A, som vurderes å være mest kritiske profil, beregnet kritisk glideflate for aø-analyse for dagens situasjon ved utgraving og ved poreovertrykk som følge av KC-stabilisering. For tilfelle med poreovertrykk har vi lagt inn et poreovertrykk på 60 kPa nedover med dybden. Dette poretrykket tilsvarer maks poretrykk som kan oppstå uten å få negativ effektivspenning. Erfaring fra peleramming tilslirer at poreovertrykk som følge av peleramming maksimalt vil spre seg 40 m ut fra peleområdet. Poreovertrykket er derfor lagt inn i utbyggingsområdet og ca 40 m oppover i skråningen.

Beregningene er sammenstilt i Tabell 9-1.

Tabell 9-1: Oppsummering av beregningsresultater for relevante glideflater

| Tegning | Beregning | Analyse | Beregningsmessig sikkerhet | |
|-----------------------|---------------------------------|-------------|----------------------------|---|
| | | | Glideflate (1) | Mest kritisk glideflate inn mot tomta (2) |
| 415789-RIG-TEG-300 | Profil A-A, eksisterende terren | ADP-analyse | 1,18 | 1,23 |
| 415789-RIG-TEG-301 | Profil A-A med byggegrop | ADP-analyse | | 1,1 |
| 415789-RIG-TEG-303_01 | Profil A-A, eksisterende terren | aφ-analyse | >2,0 | >2,0 |
| 415789-RIG-TEG-304_01 | Profil A-A med byggegrop | aφ-analyse | | >2,0 |
| 415789-RIG-TEG-310 | Profil B-B, eksisterende terren | ADP-analyse | 1,28 | 1,28 |
| 415789-RIG-TEG-311 | Profil B-B med byggegrop | ADP-analyse | | 1,28 |
| 415789-RIG-TEG-320 | Profil C-C, eksisterende terren | ADP-analyse | 1,95 | >2 |
| 415789-RIG-TEG-321 | Profil C-C med byggegrop | ADP-analyse | | 1,85 |

10 Geotekniske vurderinger

10.1 Lokalstabilitet

Innledende beregningene viser at det er god sikkerhet mot lokal utgliding av graveskråningen i byggegropa. Beregningsmessig sikkerhet er foreløpig beregnet til $F > 2,0$ for glideflater ned i kvikkkleira. Lokalstabilitet må ivaretas ved detaljprosjektering.

10.2 Områdestabilitet

For profil A-A og B-B gir udrenert ADP-analyse lav sikkerhet ($F < 1,4$) for dagens situasjon og situasjon ved utgraving. For profil C-C gir ADP-analyse tilfredsstillende sikkerhet ($F > 1,4$).

Med bakgrunn i terren og grunnforhold vurderes en gjennomsnittlig sikkerhet for de tre profilene for å være representativ for løsnesområdet vist på tegning 415789-RIG-TEG-003.

- Gjennomsnittlig sikkerhet for profil A, B og C glideflate (1), eksisterende terren: $(1,18+1,28+1,95)/3=1,47$
- Gjennomsnittlig sikkerhet for profil A, B og C kritisk glideflate inn mot tomta (2), eksisterende terren: $(1,23+1,28+1,95)/3=1,49$
- Gjennomsnittlig sikkerhet for profil A, B og C kritisk glideflate inn mot tomta (2), med byggegrop: $(1,10+1,28+1,85)/3=1,41$

Drenerte analyser viser tilfredsstillende sikkerhet i forhold til absolutt sikkerhet på $F > 1,4$ for dagens situasjon og ved utgraving. Beregninger med poreovertrykk viser at sikkerhetsfaktoren for den sammensatte glideflaten reduseres fra 2,17 til 2,07. Altså en reduksjon på ca 5 %. Beregninger med poreovertrykk er ikke presentert på tegning eller tabell.

Multiconsults faglige vurdering er at dette da dokumenterer fastsatte krav til beregningsmessig sikkerhet:

- 1 Skred påvirket av planlagt utbygging har en beregningsmessig sikkerhetsfaktor $F \geq 1,4$.
- 2 Skredmekanismer som ikke blir påvirkes av planlagt utbygging, men som vurderes å kunne berøre tomta har en beregningsmessig sikkerhetsfaktor $F \geq 1,4$.

10.3 Effekten av kalk-sement stabilisering

Ved beregning av sikkerhet med byggegrop er det ikke tatt hensyn til økt skjærfasthet som følge av kalk-sement stabilisering. Siden stabiliseringen ikke føres helt opp til terreng er det vurdert at den beregningsmessig effekt av dette er begrenset på de presenterte glideflatene.

I midlertid mener vi at etablering av kalk-sementstabiliseringen vil ha en betydelig stabiliserende effekt ved at utløpsområder avgrenses.

11 Konklusjon/sluttbemerkning

Utførte stabilitetsberegninger viser tilfredsstillende stabilitet for glideflater som kan tenkes å berøre byggetomta, enten ved at de direkte blir berørt av planlagt utbygging eller ved at de har utløp mot tomta.

Krav til årlig sikkerhet mot skred (sikkerhetsklasse 3, gjentaksintervall 5000 år) vurderes derfor å være tilfredsstilt.

Vi vurderer at de mest relevante glideflatene vil være de som direkte påvirkes av et initialskred som følge av utgraving av tomta. All byggaktivitet og terregarrondering i området må derfor utføres med stor varsomhet.

Våre vurderinger av skredfare gitt i denne rapporten skal kontrolleres av uavhengig firma (Rambøll).

12 Referanser

- /1/ NVE nr 2/2011; Flom og skredfare i arealplaner.
- /2/ NVE nr 7/2014; Sikkerhet mot kvikkleireskred
- /3/ Multiconsult. Rapport 415786-RIG-RAP-002_rev01, datert 18.2.14
- /4/ Multiconsult. Notat 415789-RIG-NOT-006, datert 12.09.14
- /5/ e-post fra Trondheim kommune: [415789] Hanskemakerbakken 2 -- Sikkerhetsfilosofi områdestabilitet (RIG-NOT-006), datert 29.9.14
- /6/ Multiconsult. Rapport 415786-RIG-RAP-001_rev01, datert 6.11.2014
- /7/ Statens vegvesen. Ud359-E Tunnel Ila - Osloveien, 1990
- /8/ Trondheim kommune. R.0047 Hanskemakerbakken, 1957
- /9/ Trondheim kommune. R.0050 Hjorten, 1958
- /10/ Trondheim kommune. R.0218 Hanskemakerbakken trygdeboliger, 1971
- /11/ Trondheim kommune. R.0218 R.1144 Møllebakken, 2001
- /12/ Multiconsult. Notat 415786-RIG-NOT-002_rev01, datert 6.9.2013
- /13/ Multiconsult. Notat 415786-RIG-NOT-005, datert 25.11.2013
- /14/ Standard Norge (2002). Eurokode: Grunnlag for prosjektering av konstruksjoner. NS-EN1990-1:2002 + NA:2008
- /15/ Standard Norge (2004). Eurokode 7: Geoteknisk prosjektering. Del 1: Allmenne regler. NS-EN 1997-1:2004 + NA:2008

1 Grunnlag

Grunnundersøkelser som gir grunnlag for bestemmelse av parametere for stabilitetsberegningene finnes hovedsakelig utført på selve tomtens Hanskemakerbakken 2, samt langs profil A-A.

Ekstrapoleringer via tolket lagdelinger gjøres for bestemmelse av parametere i profil B-B og C-C.

Det er i hovedsak lagt stor vekt på CPTU og prøveserie nr 3, 5 og 9, som representerer forholdene henholdsvis i bunn, midt og topp av skråningen som sjekkes for beregningsmessig stabilitet. De tre CPTU-sonderingene gir en god oversikt over variasjon og lagdeling i profil A-A.

Grunnundersøkelser er presentert i rapport 415789-RIG-RAP-001.

2 Materialparametere

2.1 Relevante beregningsparametere og basis for vurdering

Nødvendige parametere for beregningsmessig sjekk av områdestabiliteten er:

- Styrkeparametere:
 - ➔ Udrenert skjærstyrke tolkes fra CPTU i kombinasjon med laboratoriedata.
 - ➔ Friksjonsvinkel vurderes fra treaksialforsøk for de lagdelinger der dette er tilgjengelig, og fra erfaringsverdier i litteraturen.
 - ➔ Anisotropiforhold tas fra omforent anbefaling for norske leirer
- Tyngdetetthet: Vurderes ut fra rutinedata fra laboratoriet og fra erfaringsverdier
- Grunnvannstand: Vurderes fra poretrykksmålinger i bunn av skråningen (på tomtens). Det er ikke utført poretrykksmålinger oppover i skråningen. Grunnvannstanden legges her i overkant leirlag.
- Proetrykksoppbygging ved KS-stabilisering: Fordeling antas og kritisk grenseverdi for poretrykksoppbygging regnes frem.

2.2 Kvalitet av undersøkelser

Prøvetaking er utført med 54 mm sylinderprøver (stålsylinder) og vurderes i hovedsak å ligge Kvalitetsklasse 2, «*Forstyrret kvalitet*», når det er tatt prøver av sensitiv eller kvikk leire. Hoveddelen av opptatte prøver av de ikke sensitive leirlagene ligger i Kvalitetsklasse 1, «*Akseptabel kvalitet*». En del prøver er fra gamle undersøkelser utført av andre enn Multiconsult. Overordnet har vi vurdert disse til å være av forstyrret kvalitet, men representative.

Ved treaksialforsøkene kan prøveforstyrrelsen vurderes ut fra prøveoppføreselen gjennom konsolideringsfasen. Generelt er volumtøyningen i størrelsesorden 4 % eller mer. For en leire med overkonsolideringsgrad i størrelsesorden 1,25 (se kapittel *Overkonsolideringsgrad*) tilsvarer dette en klassifisering i grensesnittet mellom akseptabel til forstyrret prøvekvalitet. Overordnet vurderes prøvekvaliten derfor å være i kvalitetsklasse «*forstyrret kvalitet*».

Alle utførte CPTU-sonderinger (BP 3, 5 og 9) vurderes generelt å være av meget god kvalitet og å ligge i anvendelsesklasses 1. CPTU er også benyttet i stor grad for parameterbestemmelse for sjekk av områdestabilitet.

Tyngdetethet

Rutineanalyser av prøvene den bløte leira i bunn av skråningen (BP 3) viser total tyngdetethet i størrelsesorden 19 – 21 kN/m³. Denne leira er kvikk.

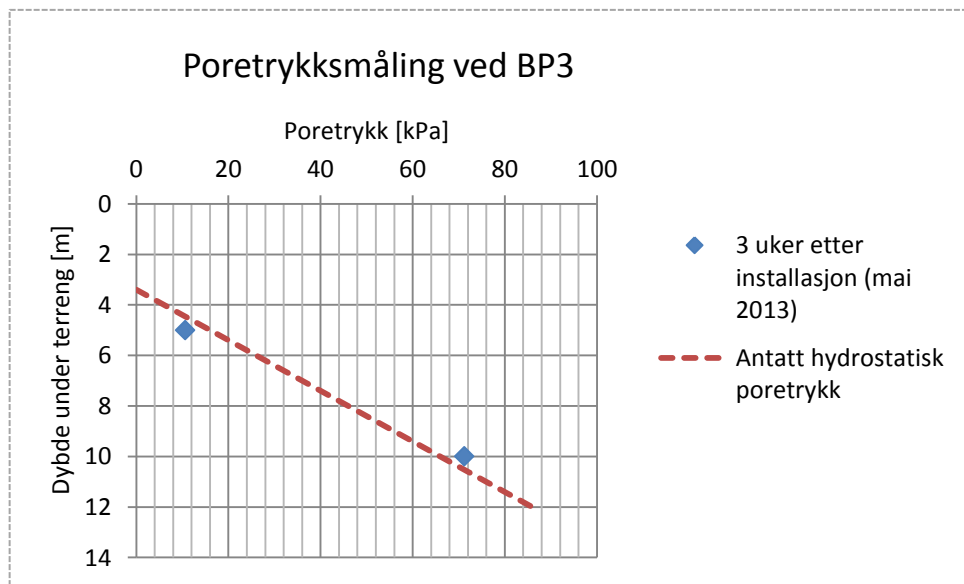
Tilsvarende for BP 5 midt i skråningen er 19,4 – 22 kN/m³. Denne leira er, med unntak av et lag fra ca 13 m dybde, i hovedsak ikke sensitiv.

Grunnvannsnivå og poretrykksfordeling med dybden

Det er satt ned hydrauliske poretrykksmålere i to forskjellige nivåer (5 og 10 m dybde) på utbyggingstomta; altså i bunn av skråningen som sjekkes i forbindelse med områdestabilitet. Målerne er avlest 1 gang i mai 2013, 3 uker etter installasjon. Poretrykksfordeling oppover i skråningen er ikke kontrollert med målinger.

Med utgangspunkt i øverste målingen (BP3) kan det tilbakeregnes en grunnvannstand på ca 4 m under terrenget, og da tilsvarende målt poreovertrykk på ca 10 kPa i 10 m dybde. Tilsvarende, med utgangspunkt i dypeste måling kan det tilbakeregnes en hydrostatisk grunnvannstand på ca 2,9 m under terrenget, og tilhørende undertrykk på ca 20 kPa i måleren på 5 m dybde.

Vi tar utgangspunkt i hydrostatisk poretrykksfordeling. En gjennomsnittlig tolket grunnvannstand er på tomta ca 3,4 m under terrenget. Poretrykket benyttes ved tolkning av CPTU3 og i drenerte stabilitets beregninger. Merk at drenert langtidsstabilitet er funnet å ha god beregningsmessig sikkerhet.



Figur 2-1: Målt poretrykk ved BP 3. Bunn av skråning.

2.3 Overkonsolideringsgrad

Det er utført ødometerforsøk av leirmassene på tomta (PR 3) og av leirmassene i midtdelen av skråningen (PR5). I forbindelse med foreliggende sjekk av områdestabilitet benyttes ødometerforsøk kun for kalibrering av OCR-profil for nyansert tolkning av udrenert skjærstyrke fra CPTU.

Ødometerforsøk utført på opptatte prøver i PR 3 og PR 5 viser at den bløte leira er noe overkonsolidert. Via sammenstilling mot og tolkning av CPTU, viser leiren en overkonsolideringsgrad på ca OCR = 1,25 i dybden.

Tegning nr. 415789-RIG-TEG-075.1 t.o.m. -078.2 i geoteknisk datarapport 415789-RIG-RAP-001_rev01 viser resultat fra ødometerforsøkene.

Tolkninger fra ødometerforsøkene:

Tabell 2-1: Tolkede parametere fra ødometerforsøk

| BP. [nr] | Kote [moh] | Dybde [m] | σ_{vo}' [kPa] | Tolket fra ødometer | | | | Estimert tidligere terrengnivå [moh] | Valgt $POP=\Delta\sigma_c'$ [kPa] |
|-------------|---------------|--------------|-------------------------|---------------------|------------|-------------------|------------|---|---|
| | | | | σ_c' [kPa] | OCR [-] | M_{oc} [MPa] | m [-] | | |
| 3 | | 6,20 | 86 | 110 | 1,28 | - | - | - | - |
| 3 | | 9,28 | 117 | 135 | 1,16 | - | - | - | - |
| 5 | | 3,35 | 54 | (100) | (1,87) | - | - | - | - |
| 5 | | 9,30 | 236 | 280 | 2,48 | - | - | - | - |

Tolkninger fra CPTU:

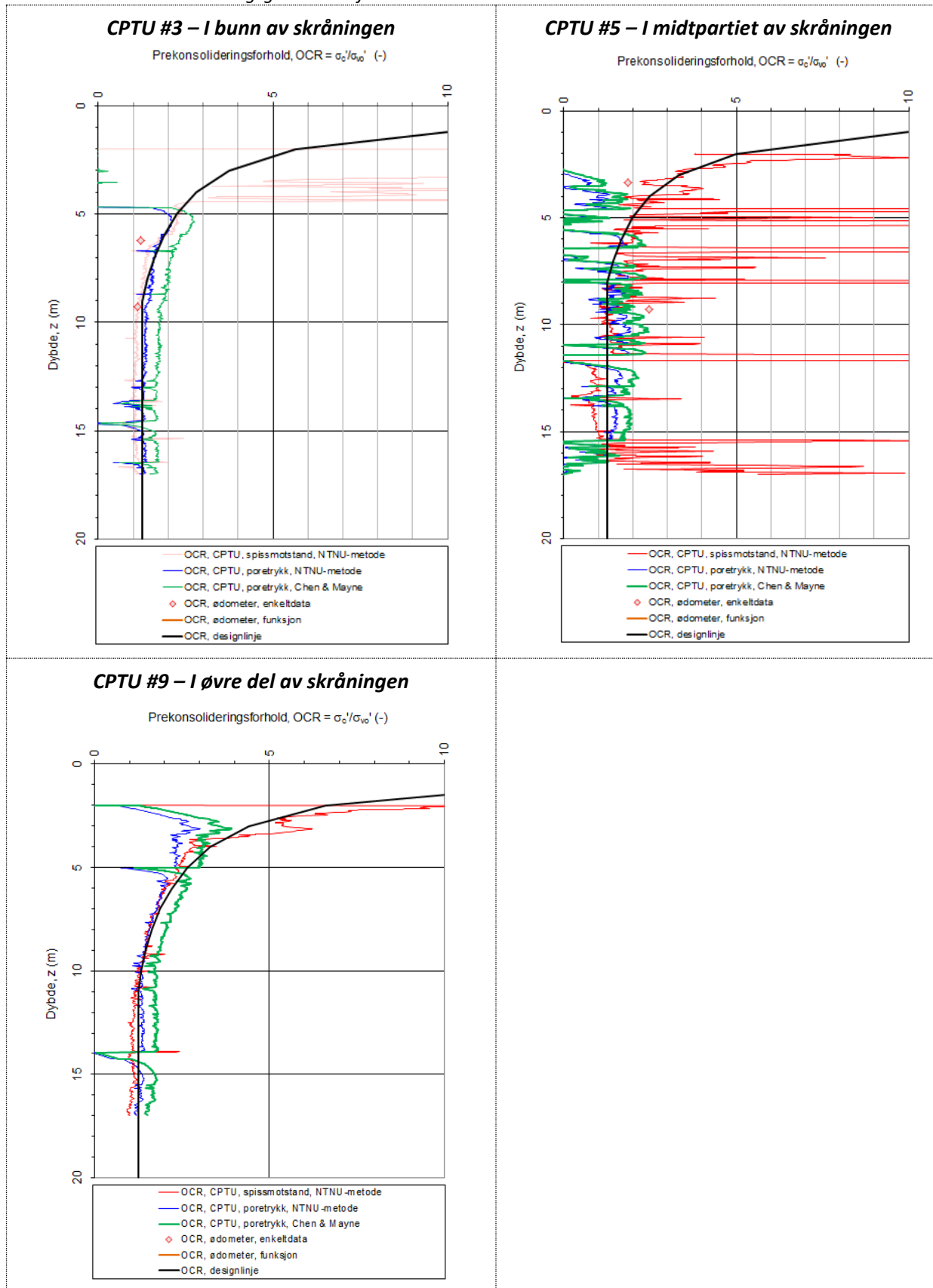
Data fra CPTU er benyttet til å ekstrapolere dataene fra ødometerforsøk mot dybden. Det er benyttet tolkning fra CPTU både på spissmotstands- og poretrykksbasis. De to metodene gir relativt godt samsvar og indikerer at leira er noe overkonsolidert.

Tabell 2-2: Tolkningsformler for overkonsolideringsgrad fra CPTU.

| Spissmotstandsbasert tolkning | Poretrykksbasert tolkning |
|---|---|
| $\text{OCR} = \frac{\sigma_{cq}'}{\sigma_{v0}'}$ $\sigma_{cq}' = \frac{q_n}{\alpha \cdot N_{kt}} - a$ <p>der, α = normalkonsolideringsforhold; N_{kt} = spissmotstandsfaktor;</p> <p>$\alpha=0,28$ er benyttet $N_{kt} = 10$ er benyttet</p> | $\text{OCR} = \frac{\sigma_{cu}'}{\sigma_{v0}'}$ $\sigma_{cu}' = \frac{\Delta u}{\alpha \cdot N_{\Delta u}} - a$ <p>der, α = normalkonsolideringsforhold; $N_{\Delta u}$ = poretrykksfaktor;</p> <p>$\alpha=0,28$ er benyttet $N_{\Delta u} = 8$ er benyttet</p> |
| | |

For hver CPTU er det bestemt en glattet funksjon for overkonsolideringsgraden (designlinje) som videre er benyttet ved tolkninger som innehar OCR; eksempelvis udrenert skjærstyrke fra CPTU-data. Alle CPTU'ene viser OCR i størrelsesorden 1,25 i dybden.

Tabell 2-3: Overkonsolideringsgrad tolket fra CPTU.



2.4 Udrenerte styrkeparametere

Verdier for c_u fra rutineundersøkelser på opptatte prøver (enaks og konus) er i våre vurderinger benyttet som verdier for direkte skjærstyrke, c_{uD} .

Ved treaksialforsøkene er karakteristiske verdier (c_{uC}) er tatt ut ved brudd (peak-verdi).

For bestemmelse av udrenert skjærstyrke fra CPTU-sonderingene er registreringene korrelert iht. empirisk baserte tolkningsfaktorer.

For finkornige masser med relativt homogene forhold betraktes tolkning av CPTU på poretrykksbasis som den mest egnede metoden.

Tabell 2-4: Tolkningsformler for udrenert skjærstyrke fra CPTU.

| Spissmotstandsbasert tolkning | Poretrykksbasert tolkning |
|--|---|
| $c_{uC} = \frac{q_t - \sigma_{v0}}{N_{kt}} = \frac{q_n}{N_{kt}}$ | $c_{uC} = \frac{\Delta u}{N_{\Delta u}}$ |
| der, q_t = korrigert spissmotstand σ_{v0} = in situ vertikal overlagringstrykk N_{kt} = bæreevnefaktor/konfaktor | der, Δu = $u_2 - u_0$, registrert poreovertrykk i CPTU $N_{\Delta u}$ = tolkningsfaktor på poretrykksbasis |

Der det er kvikkleire/sprøbruddmaterialer bør det differensieres i forhold til lagdeling/sensitivitet. I dette tilfellet har vi benyttet tolkning for kvikkleire/sprøbruddsmateriale i hele jordprofilen i bunn av skråningen (CPTU3) og tolkning for ikke sensitiv leire for de to sonderingene lenger opp i skråningen (CPTU 5 og 9). OCR, St & Ip-tolkningen er i hovedsak benyttet for sondering nr 3, som i stor grad innehar kvikkleire, mens Bq-tolkningen er benyttet for de to resterende sonderingene.

Følgende korrelasjoner er benyttet for tolkningsfaktorene:

Tabell 2-5: Tolkningsfaktorer for udrenert skjærstyrke fra CPTU.

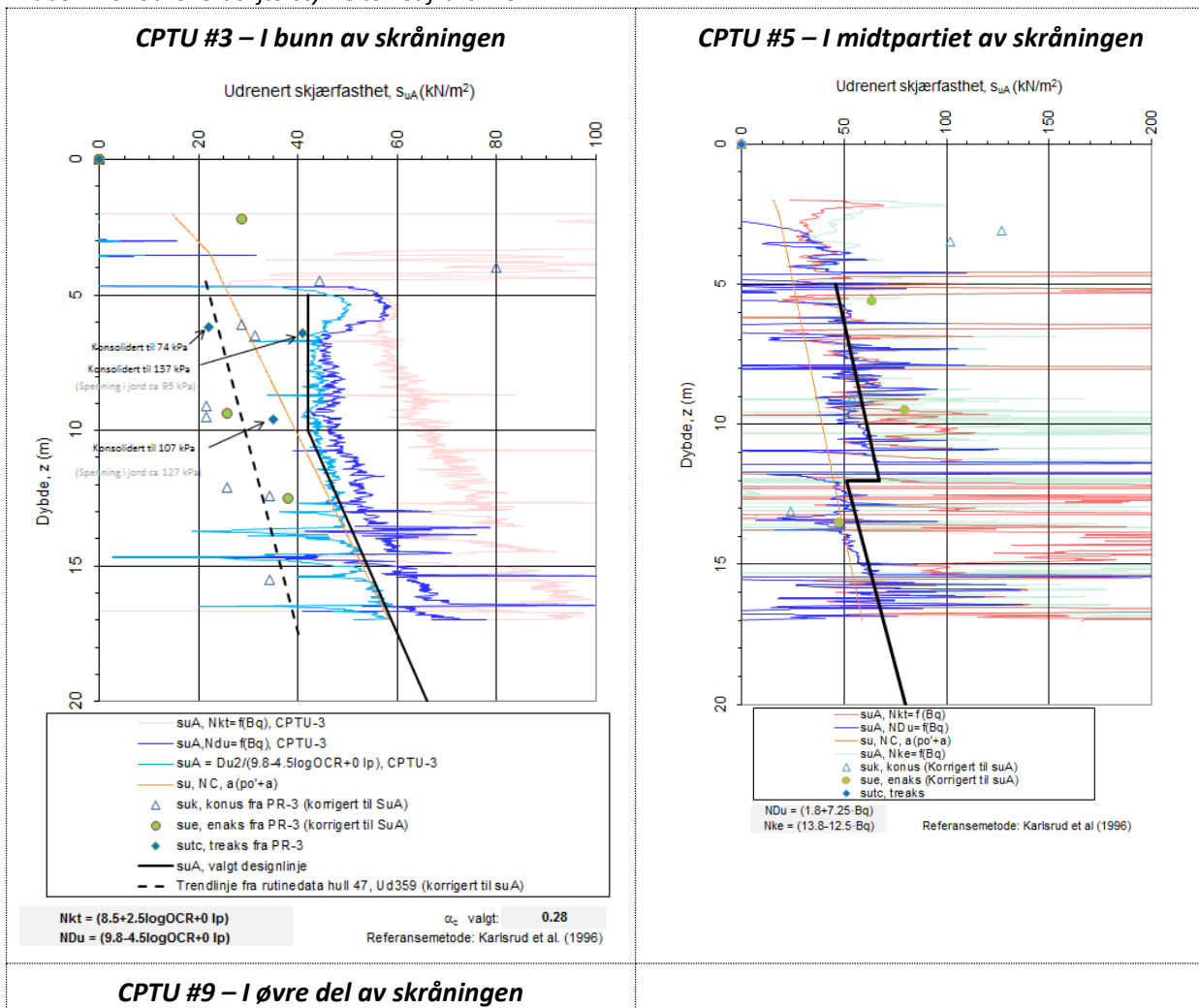
| | Empirisk middelvariasjon i B_q | Empirisk middelvariasjon i OCR , S_t og I_p |
|--|---|--|
| Leire ($S_t < 15$) | $N_{\Delta u} = 1,8 + 7,25 \cdot B_q$ $N_{kt} = 18,7 - 12,5 \cdot B_q$ | $N_{\Delta u} = 6,9 - 4,0 \cdot \log OCR + 0,070 \cdot I_p$ $N_{kt} = 7,8 + 2,5 \cdot \log OCR + 0,082 \cdot I_p$ |
| Kvikkleire/ sprøbruddmateriale ($S_t > 15$) | $N_{\Delta u} = 1,8 + 7,25 \cdot B_q$ $N_{kt} = 18,7 - 12,5 \cdot B_q$ | $N_{\Delta u} = 9,8 - 4,5 \cdot \log OCR + 0,0 \cdot I_p$ $N_{kt} = 8,5 + 2,5 \cdot \log OCR + 0,0 \cdot I_p$ |

Poretrykksforholdet, Bq, beregnes som: $B_q = \frac{\Delta u}{q_n}$

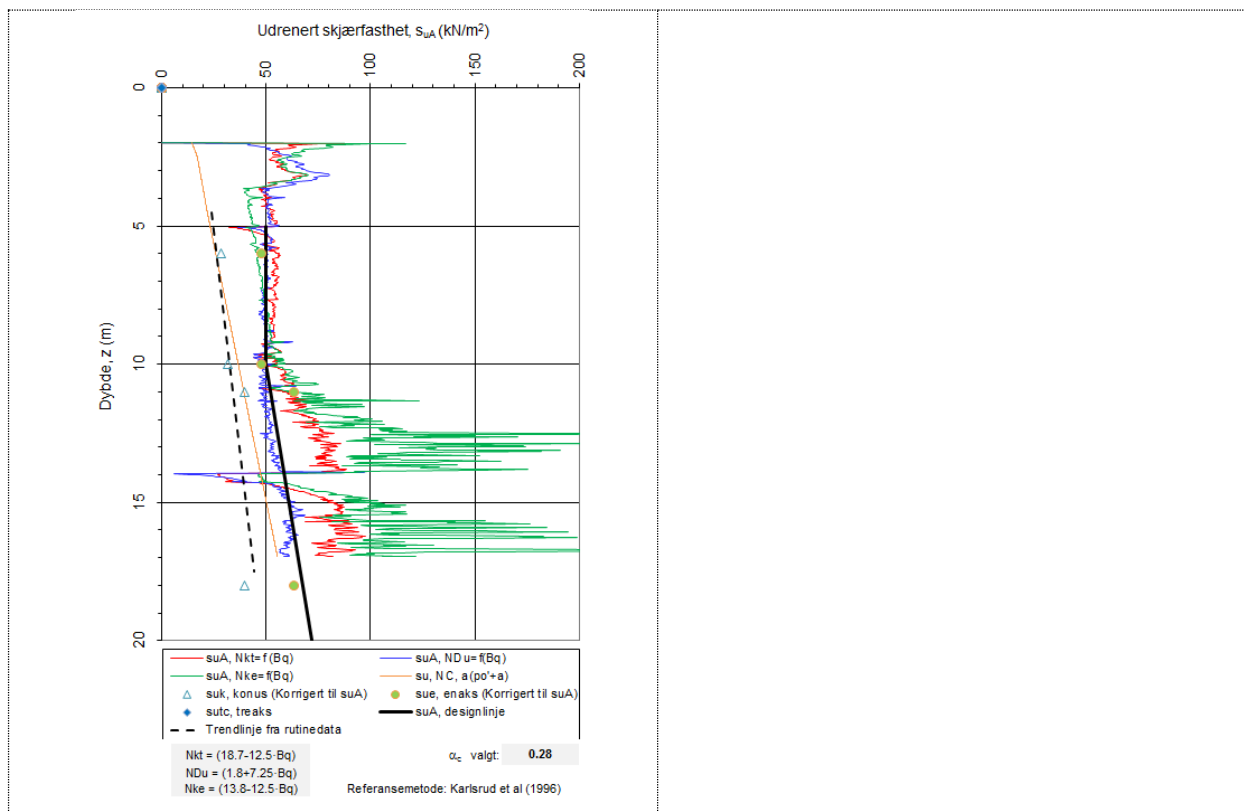
der, q_n = netto spissmotstand registrert ved CPTU.

Designverdiene er iht. NVEs retningslinjer redusert med 15 % i de lagene som omfatter sprøbruddsmateriale i stabilitetsberegningene. Vi har valgt å inkludere dette i ADP-faktoren i GeoSuite Stability.

Tabell 2-6: Utdrenert skjærstyrke tolket fra CPTU.



VEDLEGG A: Materialparametere for områdestabilitet

Anisotropi

Det er ikke utført parallele aktive og passive treaksialforsøk for vurdering av anisotropiforhold.

Anisotropiforholdet er derfor vurdert ut fra publiserte «omforent anbegfaling» i NIFS-rapport nr 14/2014.

Tabell 2-7: ADP faktorer iht. NIFS-rapport nr 14/2014

| I_p | c_{uD}/c_{uC} | c_{uE}/c_{uC} |
|-----------------|-------------------------------|-------------------------------|
| $I_p \leq 10\%$ | 0,63 | 0,35 |
| $I_p > 10\%$ | $0,63 + 0,00425 * (I_p - 10)$ | $0,35 + 0,00375 * (I_p - 10)$ |

Vi har ikke differensiert mellom sensitiv og ikke-sensitiv leire. Følgende anisotropiforhold er benyttet:

$$\frac{c_{uD}}{c_{uC}} = 0,63$$

$$\frac{c_{uE}}{c_{uC}} = 0,35$$

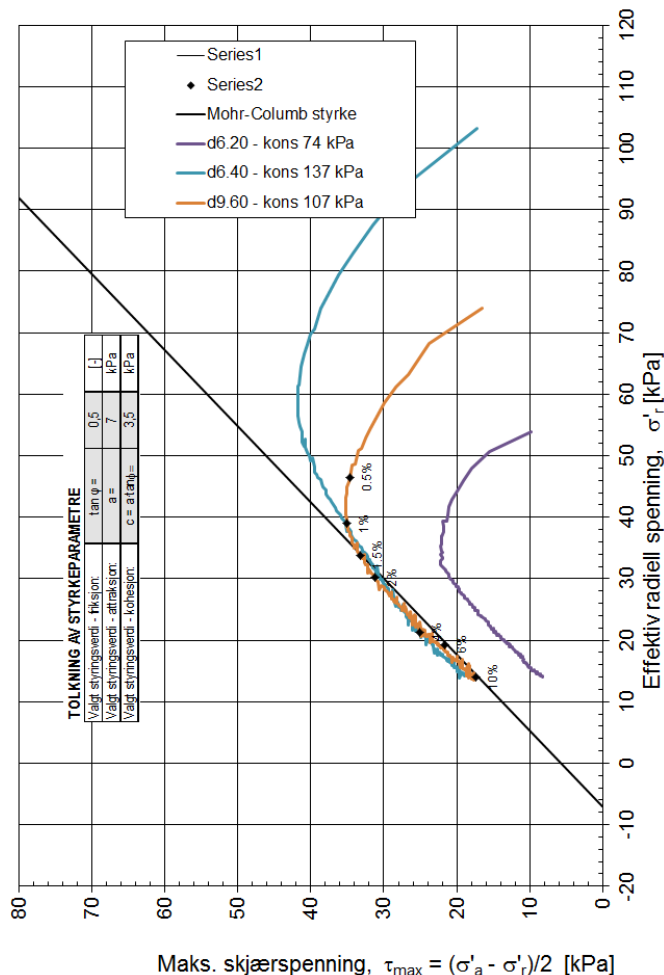
2.5 Effektivspenningsparametere

Effektivspenningsparametre, friksjonsvinkel, ϕ_k

For effektivspenningsparametere på leira er det tatt ut a - ϕ parametere fra de udrenerte treaksialforsøkene som er utført på kvikkleira ved BP3 i bunn av skråningen. For de andre materialene er det benyttet erfaringsverdier.

Treaksialforsøkene av kvikkleira viser at en friksjonsvinkel på $\phi = 26,5$ grader er rimelig ved en attraksjon på $a = 7$ kPa

VEDLEGG A: Materialparametere for områdestabilitet



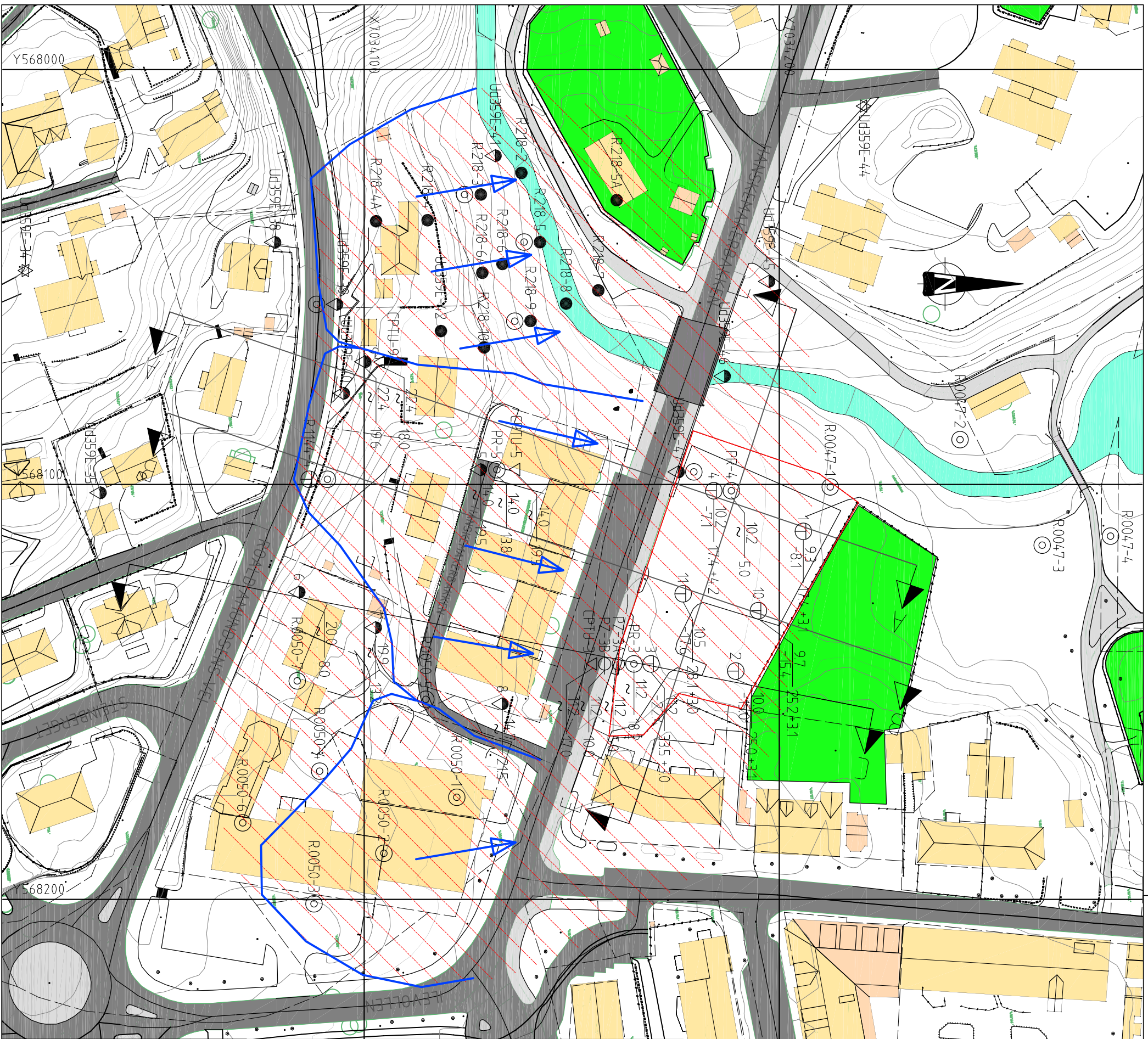
Figur 2-2: Tolkede treaksialforsøk ved BP 3. Bunn av skråning.

2.6 Materialparametere

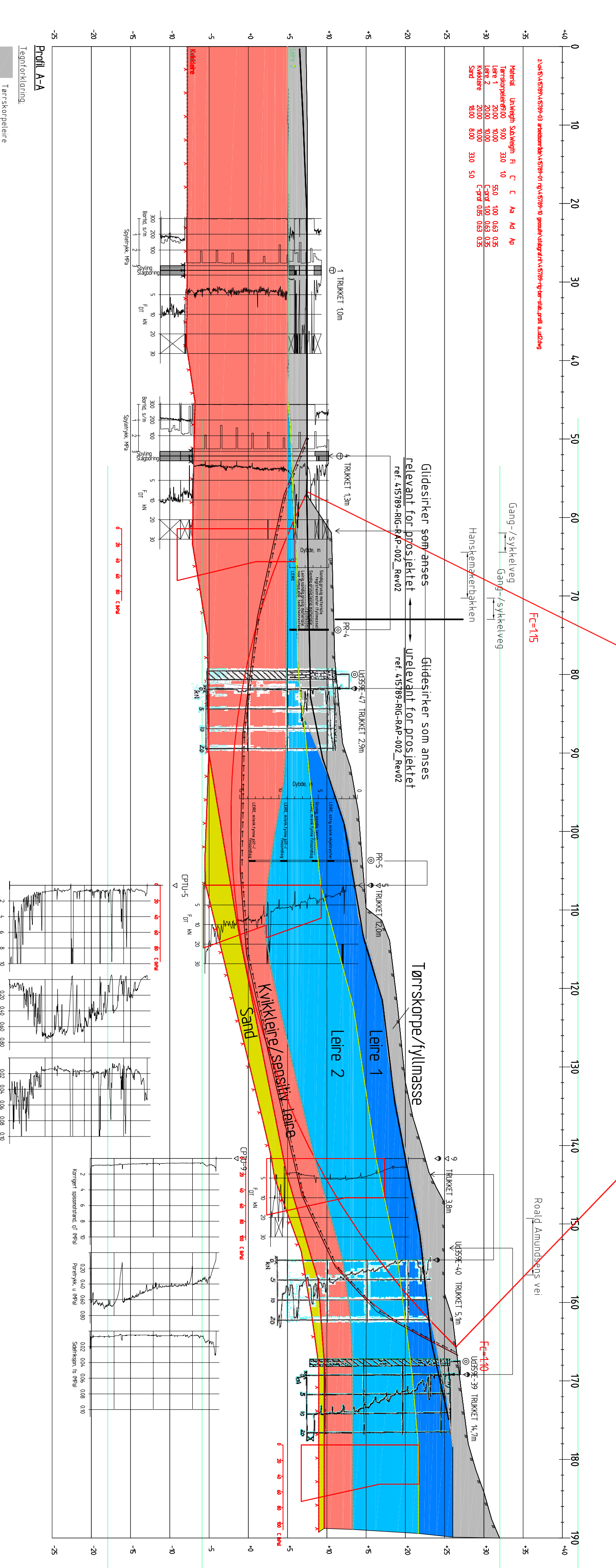
Valgte styrkeparametere benyttet ved beregningene er angitt i tabellen under.

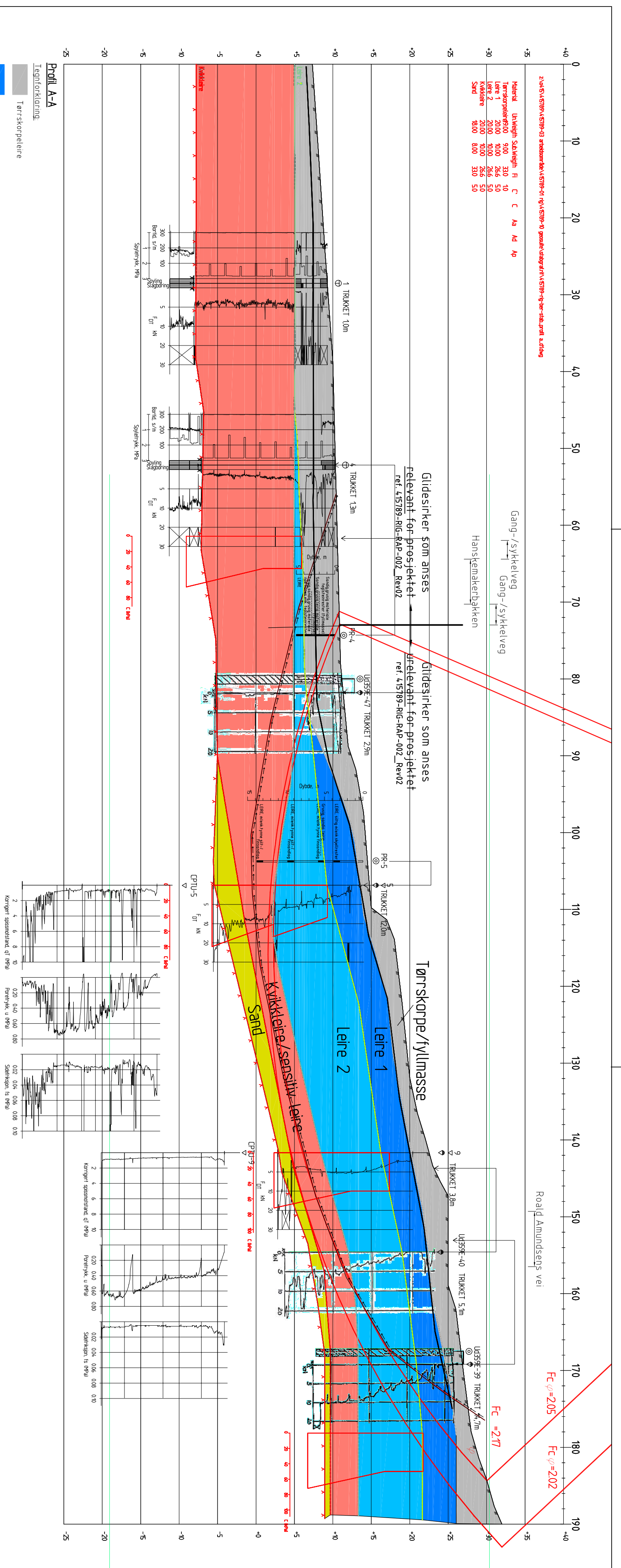
Tabell V3.4 Materialparametere

| | Tyngdetethet, γ | Friksjon, $\tan \phi_k$ | Attraksjon, a |
|-----------------|------------------------|--------------------------------|-----------------|
| Tørrskorpeleire | 19,0 kN/m ³ | 0,65 ($\phi_k = 33,0^\circ$) | 1,5 kPa |
| Leire 1 | 20,0 kN/m ³ | 0,50 ($\phi_k = 26,6^\circ$) | 10 kPa |
| Leire 2 | 20,0 kN/m ³ | 0,50 ($\phi_k = 26,6^\circ$) | 10 kPa |
| Kvikkleire | 20,0 kN/m ³ | 0,50 ($\phi_k = 26,6^\circ$) | 10 kPa |
| Sand/grus | 18,0 kN/m ³ | 0,65 ($\phi_k = 33,0^\circ$) | 10 kPa |



| BØRPLAN, med løsneområde og utløpsretning | |
|---|---|
| Rev. | |
| Beskrivelse | |
| TOBB | |
| HANSKEMAKERBAKKEN 2 | |
| GRUNNUNDERSØKELSER | |
| MULTICONSTANT AS | Dato 27.10.2013 Konstr. tegnet SCh |
| | Oppdragsgren. Tegning nr. 415789-RIG-TEG-003 BØRPLAN med Undersigts fløymap Kartgrunnlag fra sosi.dig Mølestikk |
| | 1:1000 MULTICONSTANT |
| | Oppdragsgren. Godekjet. JSG Rev. |
| | 7486 -TRONDHEIM 73 10 62 00 - Fox: 73 10 62 30/70 ARV |
| | 415789 RIG-TEG-003 00 |





Z:\K\G\45789\45789-03_arbeidsmappe\45789-01\rig\45789-01\gjenn\stabag\45789-har-stat.pdf lastning

Road Amundsen's vei

*40

0

10

20

30

40

50

60

70

80

90

100

110

120

130

140

150

160

170

180

190

*35

0

-10

-20

-30

-40

-50

-60

-70

-80

-90

-100

-110

-120

-130

-140

-150

-160

-170

-180

-190

-200

-210

-220

-230

-240

-250

-260

-270

-280

-290

-300

-310

-320

-330

-340

-350

-360

-370

-380

-390

-400

-410

-420

-430

-440

-450

-460

-470

-480

-490

-500

-510

-520

-530

-540

-550

-560

-570

-580

-590

-600

-610

-620

-630

-640

-650

-660

-670

-680

-690

-700

-710

-720

-730

-740

-750

-760

-770

-780

-790

-800

-810

-820

-830

-840

-850

-860

-870

-880

-890

-900

-910

-920

-930

-940

-950

-960

-970

-980

-990

-1000

-1010

-1020

-1030

-1040

-1050

-1060

-1070

-1080

-1090

-1100

-1110

-1120

-1130

-1140

-1150

-1160

-1170

-1180

-1190

-1100

-1110

-1120

-1130

-1140

-1150

-1160

-1170

-1180

-1190

-1100

-1110

-1120

-1130

-1140

-1150

-1160

-1170

-1180

-1190

-1100

-1110

-1120

-1130

-1140

-1150

-1160

-1170

-1180

-1190

-1100

-1110

-1120

-1130

-1140

-1150

-1160

-1170

-1180

-1190

-1100

-1110

-1120

-1130

-1140

-1150

-1160

-1170

-1180

-1190

-1100

-1110

-1120

Z:\obj\5V\5789\45789-03\arbeidsmappe\5789-01\reg\5789-10\gesamte\stavanger\5789-10\ber-sla\profil\hanskemarker-ljgr - copy.dwg

190

180

170

160

150

140

130

120

110

100

90

80

70

60

50

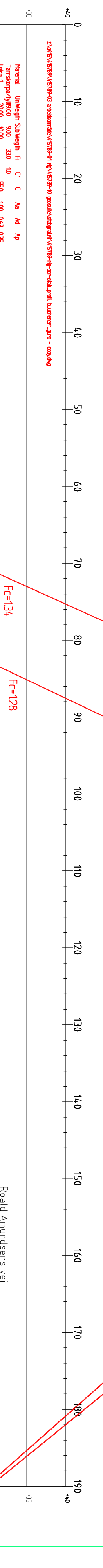
40

30

20

10

0



+40

30

20

10

0

-10

-20

-30

-40

-50

-60

-70

-80

-90

-100

-110

-120

-130

-140

-150

-160

-170

-180

-190

-200

-210

-220

-230

-240

-250

-260

-270

-280

-290

-300

-310

-320

-330

-340

-350

-360

-370

-380

-390

-400

-410

-420

-430

-440

-450

-460

-470

-480

-490

-500

-510

-520

-530

-540

-550

-560

-570

-580

-590

-600

-610

-620

-630

-640

-650

-660

-670

-680

-690

-700

-710

-720

-730

-740

-750

-760

-770

-780

-790

-800

-810

-820

-830

-840

-850

-860

-870

-880

-890

-900

-910

-920

-930

-940

-950

-960

-970

-980

-990

-1000

-1010

-1020

-1030

-1040

-1050

-1060

-1070

-1080

-1090

-1100

-1110

-1120

-1130

-1140

-1150

-1160

-1170

-1180

-1190

-1190

-1190

-1190

-1190

-1190

-1190

-1190

-1190

-1190

-1190

-1190

-1190

-1190

-1190

-1190

-1190

-1190

-1190

-1190

-1190

-1190

-1190

-1190

-1190

-1190

-1190

-1190

-1190

-1190

-1190

-1190

-1190

-1190

-1190

-1190

-1190

-1190

-1190

-1190

-1190

-1190

-1190

-1190

-1190

-1190

-1190

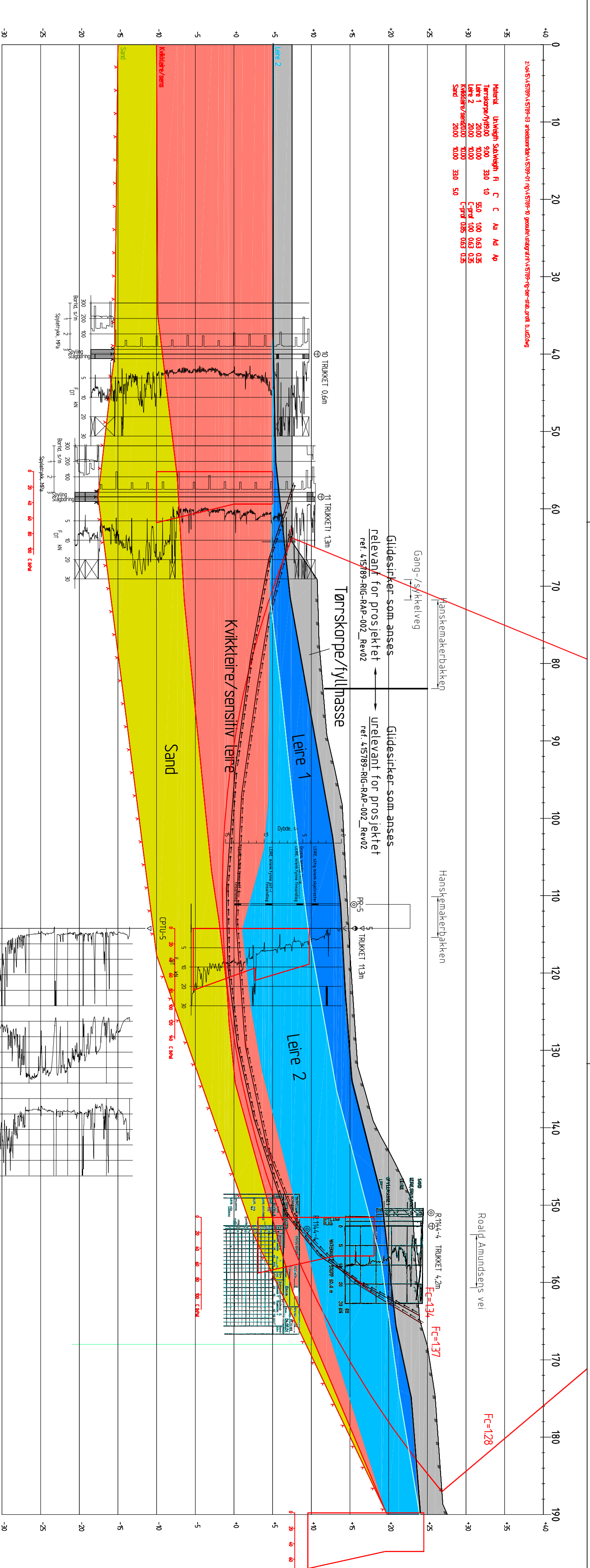
-1190

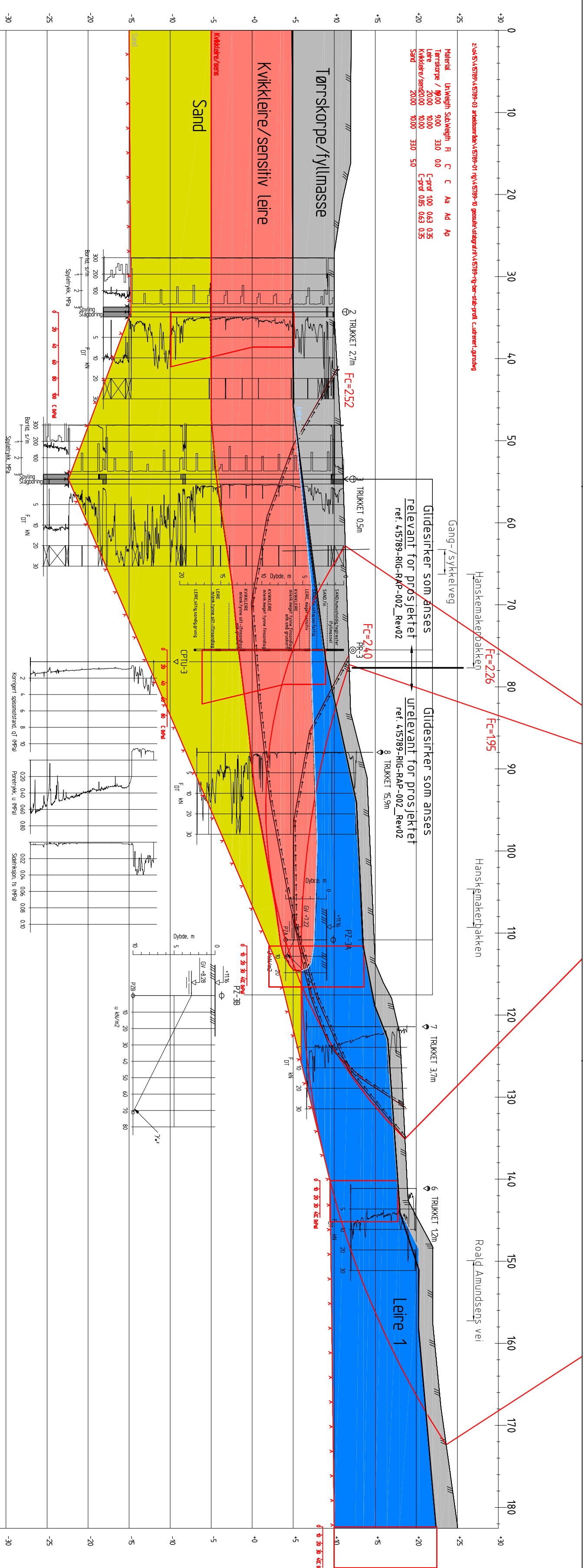
-1190

-1190

-1190

-1190





Hanskemakerbakken 2
Profil C-C, eksisterende terreng
Stabilitetsberegning, global utbredelse
ADP-analyse

